

Approche hamiltonienne pour la construction  
d'intégrateurs stables en temps long en  
mécanique des fluides incompressibles  
bi-dimensionnels sur la sphère

Oscar Cosserat

Göttingen Mathematische Institut

IRCAM, Mai 2024

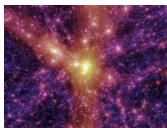
Équations hamiltoniennes en mécanique

Intégrateurs symplectiques

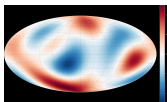
Intégrateurs hamiltoniens de Poisson

Modèle de Zeitlin

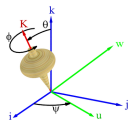
# Exemples d'équations hamiltoniennes en mécanique



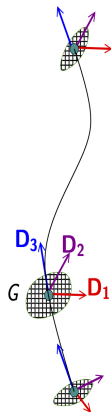
EDO : Problème à  $n$  corps



EDP : Équation d'Euler



EDO : Mouvement d'une toupie



EDP : poutre de Cosserat

# Structure de Poisson

## Definition

Dans  $\mathbb{R}^n$ , une structure de Poisson est un champ de matrices anti-symétriques  $\pi: \mathbb{R}^n \rightarrow so(n)$  vérifiant la relation de Jacobi :

$$x \rightarrow \pi(x)$$

$$\{f, \{g, h\}\} + \{g, \{h, f\}\} + \{h, \{f, g\}\} = 0,$$

où

$$\{f, g\}(x) = \nabla_x f^T \cdot \pi(x) \cdot \nabla_x g$$

est le *crochet de Poisson* des fonctions  $f$  et  $g$ .

## Remarque

*On peut définir une structure de Poisson par son champ de matrices  $\pi$  ou par ses crochets  $\{.,.\}$ .*

# Équations hamiltoniennes

À tout hamiltonien est associé un système dynamique de la façon suivante.

## Definition

L'équation différentielle hamiltonienne d'un hamiltonien

$$H: \mathbb{R}^n \rightarrow \mathbb{R}$$

est

$$\dot{x} = \pi(x) \cdot \nabla_x H.$$

On note

$$\Phi_t^H$$

le flot associé au hamiltonien  $H$ .

## Exemples d'équations hamiltoniennes

	structure de Poisson $\pi$	Hamiltonien $H$
Pb à $n$ corps	$\pi = \begin{pmatrix} 0 & -Id \\ Id & 0 \end{pmatrix}$	énergies cinétique + potentielle
Solide rigide	$\begin{pmatrix} 0 & -x_3 & x_2 \\ x_3 & 0 & -x_1 \\ -x_2 & x_1 & 0 \end{pmatrix}$	$\langle x, l \cdot x \rangle$
Euler incompressible sur $\mathbb{S}^2$	$\int_{\mathbb{S}^2} w \{ \delta f, \delta g \}$	$\int_{\mathbb{S}^2} \langle w, \Delta^{-1} w \rangle$

Pour la poutre de Cosserat : travail en cours avec Loïc Le Marrec.

# Morphismes de Poisson

## Definition

Entre deux structures de Poisson  $(\mathbb{R}^n, \pi_1)$  et  $(\mathbb{R}^m, \pi_2)$ ,

$$\alpha: \mathbb{R}^n \rightarrow \mathbb{R}^m$$

est un morphisme de Poisson si

$$\nabla_x \alpha^T \cdot \pi_1(x) \cdot \nabla_x \alpha = \pi_2(\alpha(x)).$$

# Définition

On définit un intégrateur par une famille :  $\varphi_{\Delta t}: x_n \mapsto x_{n+1}$  dépendant du pas de temps  $\Delta t$ .

## Definition

Dans l'espace  $\{(q, p)\}$  des positions-impulsions, un intégrateur  $\varphi_{\Delta t}$  est dit **symplectique** si c'est un morphisme de Poisson pour la structure de Poisson  $\pi(q, p) = \begin{pmatrix} 0 & -Id \\ Id & 0 \end{pmatrix} := J$ .

Les intégrateurs symplectiques servent en astrophysique, en dynamique moléculaire, en optique...



# Théorème de stabilité en temps long

## Théorème (Benettin et Giorgilli, 1994)

Soit  $\varphi_{\Delta t}$  un intégrateur symplectique d'ordre  $s$  pour un hamiltonien  $H$ . Sous de bonnes hypothèses, il existe un hamiltonien  $H_{\Delta t} = H + O((\Delta t)^s)$  tel que<sup>1</sup> pour tout  $\Delta t \leq \epsilon^*$ , si  $k \leq \frac{1}{\Delta t}$ ,

1.

$$\|\Phi_{k\Delta t}^{H_{\Delta t}} - (\varphi_{\Delta t})^k\| \leq \exp\left(-\frac{\epsilon^*}{\Delta t}\right)$$

2.

$$\|H_{\Delta t}(x_k) - H_{\Delta t}(x_0)\| \leq \exp\left(-\frac{\epsilon^*}{\Delta t}\right)$$

---

<sup>1</sup>à constantes près

## Exemples

Proposition (La méthode saute-mouton)

$$q_{n+1} - 2q_n + q_{n-1} = (\Delta t)^2 f(q_n)$$

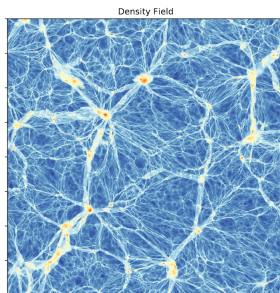
*est un intégrateur symplectique pour l'EDO*

$$\ddot{q} = f(q).$$

Les méthodes de Runge-Kutta symplectique (Euler symplectique, etc...) et les méthodes de splitting sont les deux grandes classes d'intégrateurs symplectiques de la littérature.

## Application en astronomie

- ▶ Simulation Millennium du projet Virgo (2005) : problème à  $N$  corps pour  $N \approx 10^{10}$  et la méthode saute-mouton
- ▶ "Large-scale dark matter simulations" (Angulo & Hahn, 2021) : review des simulations du problème à  $N$  corps. Les simulations les plus efficaces utilisent des intégrateurs symplectiques obtenus par splitting.



Champ de densité obtenu par une simulation de mécanique céleste à grande échelle

# Définition

## Definition (Intégrateur hamiltonien de Poisson)

Un intégrateur  $\varphi_{\Delta t}$  est dit *hamiltonien de Poisson* s'il est le flot d'une équation hamiltonienne non-autonome.

## Remarque

*Une équation hamiltonienne non-autonome est une équation hamiltonienne pour laquelle le hamiltonien dépend du temps :*

$$\dot{x} = \pi(x) \cdot \nabla_x H_t.$$

# Pourquoi ?

## Proposition

*Tout intégrateur **symplectique** est un cas particulier d'intégrateur **hamiltonien de Poisson**.*

Par ailleurs<sup>2</sup> :

1. c'est la bonne généralisation des intégrateurs symplectiques aux structures de Poisson générales
2. j'en ai trouvé pleins

## Théorème (C., non publié)

*Pour les intégrateurs hamiltoniens de Poisson, les mêmes estimées en temps long existent que pour les intégrateurs symplectiques.*

---

<sup>2</sup>voir "Theory and Construction of Structure-preserving Numerical Methods in Poisson Geometry", C., 2023

# Exemple

## Proposition

Sur l'algèbre des matrices anti-hermitiennes de taille  $n$   
 $su(n) = \{A \in \mathcal{M}_{n \times n}, A^\dagger = -A\}$ , pour tout endomorphisme  
 $u: su(n) \rightarrow (n)$ , l'équation

$$\dot{A} = [A, u(A)]$$

est hamiltonienne pour  $H$  et  $\{.,.\}$  donnés par

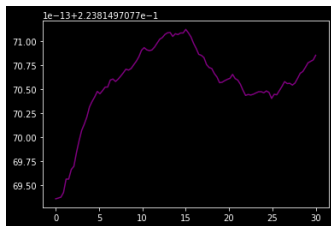
$$H(A) = \langle A, u(A) \rangle$$

et

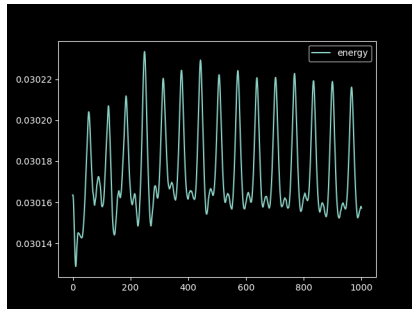
$$\{f, g\}(A) = \langle A, [\nabla_A f, \nabla_A g] \rangle .$$

# Simulations numériques

Pour un endomorphisme  $u = \Delta_n^{-1}$  particulier et un intégrateur hamiltonien de Poisson à l'ordre 1 :



Préservation d'un Casimir :  $n = 30$ ,  
 $T = 60$ ,  $\Delta T = 10^{-2}$



Préservation du hamiltonien :  $n = 256$ ,  
 $T = 1000$ ,  $\Delta T = 1$

**Figure:** La trajectoire discrète oscille autour de la solution continue

## Équation d'Euler sur $\mathbb{S}^2$

L'équation d'Euler en vitesse eulerienne sur  $\mathbb{S}^2$  est :

$$\begin{cases} \dot{u} + \nabla_u u + \nabla p = 0 \\ \operatorname{div}(u) = 0 \end{cases}$$

et se reformule en vorticit  par :

$$\begin{cases} \dot{\omega} + \{\psi, \omega\}_{\mathbb{S}^2} = 0 \\ \Delta \psi = \omega \end{cases}, \quad (1)$$

o 

- ▶  $\Delta$  est l'op rateur de Laplace-Beltrami
- ▶  $\{.,.\}_{\mathbb{S}^2}$  sont donn s par la forme symplectique sur la sph re  $\mathbb{S}^2 \subset \mathbb{R}^3$



# Euler est une EDP hamiltonienne

## Proposition (Arnol'd)

*L'équation d'Euler est hamiltonienne pour*

$$H(\omega) = \int_{\mathbb{S}^2} \omega \cdot \psi$$

*et*

$$\{F, G\}(\omega) = \int_{\mathbb{S}^2} \omega \cdot \{\delta F, \delta G\}_{\mathbb{S}^2}(\omega).$$

## Question

*Comment utiliser cette structure hamiltonienne pour fabriquer des méthodes numériques aussi stables en temps longs que celles obtenues en dimension finie ?*

# Idée

**Idée** : Remplacer la structure de hamiltonienne de dimension infinie par une structure hamiltonienne de dimension finie, sur laquelle on applique un intégrateur hamiltonien de Poisson.

## Remarque

*Mais on ne connaît pas en général de **sous-algèbres de Poisson de dimension finie** capturant asymptotiquement la géométrie du système dynamique.*

## Exemple

*Korteweg-de Vries périodique et l'algèbre de Virasoro*

## Meilleure idée : le modèle de Zeitlin

- Procédure de projection de l'EDP hamiltonienne sur une équation hamiltonienne de **grande dimension**

$$\dot{\omega} = \{\Delta^{-1}\omega, \omega\} \text{ dans } \mathcal{C}^\infty(\mathbb{S}^2) \rightsquigarrow \dot{W} = [\Delta_n^{-1}W, W] \text{ dans } su(n)$$

Euler	Zeitlin
vorticité $\omega \in \mathcal{C}^\infty(\mathbb{S}^2)$ fonction de courant $\psi \in \mathcal{C}^\infty(\mathbb{S}^2)$ Laplacien $\Delta: \mathcal{C}^\infty(\mathbb{S}^2) \rightleftarrows$ Hamiltonien $H(\omega) = \int_{\mathbb{S}^2} \omega \psi$ Casimirs $C_k = \int_{\mathbb{S}^2} \omega^k$ $\omega(\omega^{-1}(\{x\}))$ niveaux de $\omega$	matrice de vorticité $W \in su(n)$ matrice de courant $P \in su(n)$ Laplacien discret $\Delta_n^{-1}: su(n) \rightleftarrows$ hamiltonien $H_n(W) = \text{Tr}(WP)$ Casimirs $C_k^n = \text{Tr}(W^k)$ valeurs propres de $W$ espaces propres de $W$

# Résultats de convergence

Théorème (Zeitlin quand  $n \rightarrow \infty \simeq$  Euler)

- ▶  $\|\omega\|_\infty - \frac{c}{n} \leq \|W_n\| \leq \|\omega\|_\infty$ . Plus généralement,  
 $\lim_{n \rightarrow \infty} C_k^n = C_k$ .
- ▶ Convergence du hamiltonien :  $\lim_{n \rightarrow \infty} H_n(W) = H(\omega)$

Remarque

La convergence n'est **pas** une convergence de trajectoire quand  $n \rightarrow \infty$ .

# Simulation numérique

## 2 idées

Simulations en temps long  
remplacer la sphère par une  
surface de Riemann quelconque  
(ellipse...)

Cascades d'énergie de  
Kolmogorov en mécanique des  
fluides compressible.  
Comparaison avec la DEC ?